

## بررسی نقش کانال‌های پتاسیمی وابسته به ATP در تغییرات آستانه تشنجات کلونیک القاء شده با پنتیلن تترازول در موش‌های سوری دیابتیک نوع ۱

حامد شفارودی<sup>۱</sup>، مهرداد هاشمی<sup>۲</sup>، احمد رضا دهپور<sup>۳</sup>

<sup>۱</sup> استادیار، دکترای فارماکولوژی، گروه فارماکولوژی و سمندانسی، دانشگاه آزاد اسلامی، واحد علوم دارویی تهران

<sup>۲</sup> استادیار، دکترای ژنتیک مولکولی، گروه ژنتیک مولکولی، دانشگاه آزاد اسلامی، واحد پزشکی تهران

<sup>۳</sup> استاد، دکترای ژنتیک مولکولی، گروه فارماکولوژی، دانشکده داروسازی، دانشگاه علوم پزشکی تهران

### چکیده

**سابقه و هدف:** اگرچه شواهدی وجود دارد که دیابت حساسیت به تشنج را افزایش می‌دهد، مکانیسم دقیق این پدیده مشخص نشده است. از سوی دیگر بسیاری از مطالعات حاکی از دخالت کانال‌های پتاسیمی حساس به  $K_{ATP}$  در تنظیم آستانه تشنج می‌باشند. بنابراین، این مطالعه با هدف بررسی اثر دیابت بر آستانه تشنج کلونیک القاء شده با پنتیلن تترازول در موش‌های سوری و بررسی نقش احتمالی کانال‌های  $K_{ATP}$  در این اثر انجام شد.

**روش بررسی:** در این مطالعه تجربی، موش‌های سوری به وسیله تزریق داروی استریپوزوسین دیابتیک گردیدند و آستانه تشنج القاء شده با پنتیلن تترازول در آنها در زمان‌های ۳، ۴، ۲، ۶، ۱ و ۱۰ هفته بعد از القاء دیابت در مقایسه با گروه شاهد غیردیابتیک ارزیابی شد. هر گروه شامل ۱۰ حیوان بود.

**یافته‌ها:** در مقایسه با گروه شاهد، آستانه تشنج بطور وابسته به زمان در حیوانات دیابتیک تغییر نمود، بطوری که در هفته دوم بعد از القاء دیابت به حد اکثر خود رسید و بعد از آن تا هفته ۱ بطور معنی‌داری کاهش یافت. دوز غیر مؤثر گلی بن کلامید (بلوک‌کننده  $K_{ATP}$ )، ۱ mg/kg، اما نه ۴ آ-مینوپیریدین (بلوک‌کننده کانال پتاسیمی وابسته به ولتاژ، i.p.)، باعث کاهش معنی‌دار آستانه تشنج موش‌های دیابتیک ۲ هفته‌ای شد که این اثر با تجویز هم‌زمان کرومکالیم (Kromakalim) (۱۰ µg/kg، i.p.) مهار شد. به علاوه، دوز غیر مؤثر کرومکالیم (۱۰ µg/kg)، اما نه ۴ آ-مینوپیریدین (i.p.)، ۱ mg/kg، و لی نه ۴ آ-مینوپیریدین (i.p.)، مهار شد.

**نتیجه‌گیری:** آستانه تشنج در دیابت بطور وابسته به زمان تغییر می‌کند، به گونه‌ای که در اوایل دیابت افزایش و متعاقب آن کاهش می‌یابد. این تغییرات ممکن است در اثر تغییرات فعالیت کانال‌های پتاسیمی  $K_{ATP}$  در طول دیابت باشد.

**واژگان کلیدی:** دیابت، آستانه تشنج، کانال‌های پتاسیمی حساس به ATP، گلی بن کلامید، کرومکالیم، موش سوری.

### مقدمه

نشان داده‌اند که شیوع این بیماری در دهه‌های اخیر به نحو چشم‌گیری افزایش یافته است. اگرچه مطالعات اندکی بر روی اثرات بیماری دیابت بر عملکرد اعصاب مرکزی انجام شده است، برخی از بررسی‌ها حاکی از آن است که کارکرهای سیستم اعصاب مرکزی (CNS) می‌توانند دستخوش تغییرات عمیقی ناشی از دیابت شود (۱). برای مثال، نشان داده شده است که آستانه تشنج القاء شده با الکتروشوک در موش‌های

دیابت یکی از مهم‌ترین اختلالات متابولیک شایع می‌باشد که سیستم‌های مختلف بدن را درگیر می‌کند. تحقیقات مختلف

آدرس نویسنده مسئول: تهران، دانشگاه آزاد اسلامی، واحد علوم دارویی تهران، گروه فارماکولوژی و سمندانسی.

سنسی، دکتر حامد شفارودی (email: hamedshafaroodi@yahoo.com)

تاریخ دریافت مقاله: ۱۳۸۸/۸/۲۵

تاریخ پذیرش مقاله: ۱۳۸۸/۱۰/۲۲

دخالت این کانال‌ها در اثرات احتمالی دیابت بر آستانه تشنج کلولنیک بررسی شد.

## مواد و روشها

در مطالعه تجربی حاضر، از موش‌های سوری نژاد NMRI با وزن ۲۳ تا ۳۰ گرم استفاده شد. حیوانات در یک اتاق با کنترل نور کافی با سیکل شبانه‌روزی ۱۲ ساعته نگهداری می‌شدند و به آنها غذا و آب کافی داده می‌شد. آزمایشات مطابق با توصیه کمیته اخلاقی انجام شدند. حیوانات به دو گروه اصلی تقسیم شدند: (الف) گروه دیابتیک (Diabetic) که حیوانات این گروه‌ها با تزریق یک دوز داخل صفاقی استرپتوزوسین ( $mg/kg$ ) ۱۴۰، i.p. که در بافر سیترات ( $pH=4/5$ ) حل شده بود، دیابتیک می‌شدند؛ (ب) گروه شاهد (Control) که در این حیوانات تنها محلول بافر سیترات بدون استرپتوزوسین به آنها تزریق می‌شد.

هریک از این دو گروه اصلی به ۶ زیرگروه که هریک شامل ۱۰ موش سوری بودند، تقسیم شدند که به ترتیب بعد از سه روز، ۱، ۲، ۴، ۶ و ۸ هفته از تزریق، آستانه تشنج ناشی از PTZ در آنها بررسی شد.

جهت دیابتیک نمودن حیوانات، ابتدا موش‌های سوری نر با وزن ۲۲-۳۰ گرم به مدت ۲۴ الی ۴۸ ساعت تحت شرایط گرسنگی فرار داده شدند. بیماری دیابت توسط تزریق داخل صفاقی (i.p.) از داروی استرپتوزوسین ( $65 mg/kg$ ) که در ۰/۳ml بافر سیترات ( $pH=4/5$ ) حل گردیده، در حیوانات ایجاد می‌گردد. در حیوانات شاهد، تنها ۰/۳ml محلول بافر سیترات بدون داروی استرپتوزوسین تزریق می‌شد. پس از ۴۸ ساعت توسط نوار مخصوص BM Test Comber 9 test (گلوگومتر) وجود قند در خون سرمی بررسی می‌گردد. در صورتی که قند آنها بالاتر از  $300 mg/dl$  بود، حیوانات به عنوان دیابتیک شناخته شده و آزمایشات متعاقباً در زمان مقرر برای آنها در هر گروه انجام می‌شد.

نحوه بررسی آستانه تشنج در موش‌ها به این صورت بود که بعد از گذشتن زمان مقرر در هر زیرگروه، PTZ (۰/۵ درصد) به وسیله پمپ مخصوص و توسط یک سوزن مخصوص Butterfly شماره ۳۰ به ورید دمی (i.v.) موشها تزریق می‌شد. تزریق در هنگامی که حرکات کلونوس اندام جلو و متعاقباً کلونوس کامل بدن مشاهده می‌شد، قطع شده و میزان PTZ تزریق شده بر حسب  $mg/kg$  وزن موش به عنوان معیاری برای آستانه تشنج کلولنیک درنظر گرفته می‌شد.

صحراوی، ۴ هفته بعد از القاء دیابت توسط داروی الوكسان، کاهش چشم‌گیری می‌یابد (۲)، که این امر نشان‌دهنده افزایش تحریک‌پذیری (Excitability) سیستم اعصاب مرکزی در طول بیماری دیابت می‌باشد. در مدل دیگری از تشنج به وسیله flurothyl seizure test (flurothyl) در موش‌های صحرای flurothyl نشان داده شد که تشنج‌های کلولنیک القاء شده با flurothyl بطور معنی‌داری ۲ هفته بعد از القاء دیابت به وسیله داروی استرپتوزوسین کاهش می‌یابند (۳). هم‌چنین نشان داده شده است که فعالیت اپیلپتی فرم در هیپوکامپ موش‌های صحرایی در محیط *in vitro* بطور معنی‌داری با افزایش غلظت گلوكز و هیپرگلیسمی افزایش می‌یابد (۳). هرچند این مطالعات حاکی از اثرات تحریکی دیابت بر آستانه تشنج در مدل‌های داروهای صحرایی می‌باشد، اثرات ولیسته به زمان دیابت بر روی آستانه تشنج در مدل‌های مختلف تشنج و گونه‌های حیوانی دیگر مبهم باقی مانده است.

از سوی دیگر بررسی‌های متعدد نشان داده‌اند که کانال‌های پتانسیمی حساس به  $K_{ATP}$  نقش مهمی را در کنترل تشنج در بسیاری از مدل‌های *in vitro* و *in vivo* تشنج در مدل‌های مختلف حیوانی ایفا می‌کند (۴-۶). با استفاده از مدل تشنج‌های پارشیال در هیپوکامپ، گزارش شده است که داروهای باز کننده کانال‌های  $K_{ATP}$  همانند کرومکالیم و لوكرومکالیم می‌توانند هر دو عمل proconvulsant در موش‌های صحرایی داشته باشند (۶). کانال‌های  $K_{ATP}$  پس‌سیناپسی ممکن است در کنترل تحریک‌پذیری در وضعیت‌هایی که در آن ATP کاهش می‌یابد نقش داشته باشند، در حالی که کانال‌های پره-سیناپتیک ممکن است در آزادشدن نوروترانسミترهای مهاری همچون GABA نقش داشته باشند (۷-۹). با توجه به نقش حیاتی کانال‌های پتانسیمی در بسیاری از روندهای پاتوفیزیولوژیک دیابت در بسترها عروقی و اعصاب از یکسو (۱۰-۱۲) و نقش تنظیمی آن در آستانه تشنج و تحریک‌پذیری اعصاب مرکزی از سوی دیگر، به نظر می‌رسد که این کانال‌ها در اثر پاتوفیزیولوژیک دیابت بر آستانه تشنج نقش حیاتی بازی نمایند. با اینحال، تاکنون هیچ مطالعه‌ای این مسئله را در دیابت چه در مدل‌های حیوانی و چه در بیماران دیابتی بررسی ننموده است. لذا این مطالعه با هدف بررسی تغییرات آستانه تشنج با استفاده از مدل تشنج کلولنیک القاء شده با پنتیلین‌ترازول (PTZ) در زمان‌های مختلف بعد از القاء دیابت در موش‌های سوری انجام شد. هم‌چنین با استفاده از داروهای  $K_{ATP}$  اختصاصی مهارکننده و بازکننده اختصاصی کانال‌های

جدول ۱- قند خون و وزن موش‌های گروه کنترل و دیابتیک (القا، شده با استرپتوزوسین) در گروه‌های جداگانه در زمان‌های مختلف ۰ و ۳ روز، یک هفته، ۲، ۴، ۶ و ۸ هفته بعد از تزریق بافر سیترات (کنترل) و استرپتوزوسین (دیابتیک).\*

قند خون (mg/dl)	غیردیابتیک	دیابتیک	غیردیابتیک	دیابتیک	غیردیابتیک	دیابتیک	روز سوم	روز صفر	هفته اول	هفته دوم	هفته چهارم	هفته ششم	هفته هشتم
۱۳۶±۱۰	۱۴۲/۶±۱۲	۱۴۶/۹±۱۰/۲	۱۳۹/۸±۷/۶	۱۳۵/۶±۶/۷	۱۴۳±۴/۵	۱۳۸/۴±۳/۴	غیردیابتیک	دیابتیک	دیابتیک	دیابتیک	دیابتیک	دیابتیک	دیابتیک
<sup>b</sup> ۴۸۹/۴±۴۷/۴	<sup>b</sup> ۵۳۷/۸±۳۷	<sup>b</sup> ۵۴۱±۵۳/۷	<sup>b</sup> ۴۲۶/۸۷±۳۱	<sup>a</sup> ۳۴۹±۶۶/۵	<sup>b</sup> ۳۶۵/۸±۷۰	۱۴۲±۳/۲	دیابتیک	وزن (گرم)					
۴۱/۱±۰/۸۱	۳۹±۱/۰۷	۳۵/۲±۰/۸	۳۱/۳±۰/۰۱	۲۷/۳۴±۱/۲	۲۴/۵±۰/۵۹	۲۳/۳±۰/۴۷	غیردیابتیک						
<sup>b</sup> ۳۲/۱±۱/۴۴	<sup>b</sup> ۲۵/۲±۱/۲	<sup>b</sup> ۲۳/۹±۱/۱۳	<sup>b</sup> ۲۳/۵±۰/۸۸	۲۳/۸±۱/۶	۲۶/۴±۱/۴	۲۴/۳±۰/۴۲	دیابتیک						

\* داده‌ها به صورت میانگین ± خطای معیار بیان شده‌اند.

<sup>a</sup>: P<0.05 در مقایسه با گروه شاهد هم‌زمان

۸. در موش‌های شاهد و دیابتیک ۸ هفته، ۵ دقیقه قبل از تزریق ۴-آمینوپیریدین و ۳۵ دقیقه قبل از تزریق PTZ داروی کرومکالیم  $10\text{ }\mu\text{g/kg}$  به صورت (i.p.) به موش‌ها تزریق شد.

داروهای گلی‌بن کلامید، کرومکالیم، ۴-آمینوپیریدین و استرپتوزوسین، همگی از شرکت سیگما (Sigma, Bristol, UK) خریداری شدند. پنتیلن‌ترازول از شرکت آراطب در ایران خریداری شد.

داده‌ها به صورت میانگین ± خطای معیار از میانگین One- or Two-way Analysis of Variance (ANOVA) گرفت که متعاقب آن آزمون Newman-Keuls post hoc test صورت پذیرفت.  $p < 0.05$  به لحاظ آماری معنی‌دار (Significant) تلقی شد.

## یافته‌ها

همان‌طور که در جدول ۱ نشان داده شده است، موش‌های سوری که به آنها استرپتوزوسین تزریق شده بود، دچار دیابت شده بودند و قند خون آنها در مقایسه با گروه‌های شاهد که تنها بافر سیترات گرفته بودند به طور معنی‌داری بالاتر بود ( $p < 0.001$ ). همچنین، گروه دیابتیک ۲ هفته به بعد نسبت به گروه شاهد هم‌زمان خود از وزن کمتری ( $p < 0.01$ ) برخوردار بودند که نشان‌دهنده وضعیت کاتابولیسم در دیابت بوده و این اثر خود را از هفته دوم نشان می‌دهد.

همان‌طور که در شکل ۱ مشاهده می‌شود، آستانه تشنج القاء شده با PTZ در موش‌های دیابتیک نسبت به گروه شاهد هم‌زمان خود به طور وابسته به زمان تغییر نمود ( $p < 0.0001$ ). همان‌طور که در این شکل نشان داده شده است، آستانه تشنج در ۲ هفته اول القاء دیابت در موش‌های دیابتیک به طور وابسته

بررسی دخالت کانال‌های پتاسیمی در تغییرات احتمالی به وجود آمده در آستانه تشنج حیوانات دیابتیک به صورت زیر بررسی شد:

۱. در موش‌های شاهد و دیابتیک ۲ هفته، داروی گلی‌بن کلامید (بلوک‌کننده کانال پتاسیمی وابسته به ATP)  $1\text{ mg/kg}$  به صورت (i.p.) ۳۰ دقیقه قبل از تزریق PTZ و اندازه‌گیری آستانه تشنج به موش‌ها تزریق شد.

۲. در موش‌های شاهد و دیابتیک ۲ هفته، ۵ دقیقه قبل از تزریق گلی‌بن کلامید و ۳۵ دقیقه قبل از تزریق PTZ داروی کرومکالیم  $10\text{ }\mu\text{g/kg}$  به صورت (i.p.) به موش‌ها تزریق شد.

۳. در موش‌های شاهد و دیابتیک ۲ هفته، داروی ۴-آمینوپیریدین (بلوک کننده کانال پتاسیمی وابسته به ولتاژ،  $1\text{ mg/kg}$ ) به صورت (i.p.) ۳۰ دقیقه قبل از تزریق PTZ و اندازه‌گیری آستانه تشنج به موش‌ها تزریق شد.

۴. در موش‌های شاهد و دیابتیک ۲ هفته، ۵ دقیقه قبل از تزریق ۴-آمینوپیریدین و ۳۵ دقیقه قبل از تزریق داروی کرومکالیم  $10\text{ }\mu\text{g/kg}$  به صورت (i.p.) به موش‌ها تزریق شد.

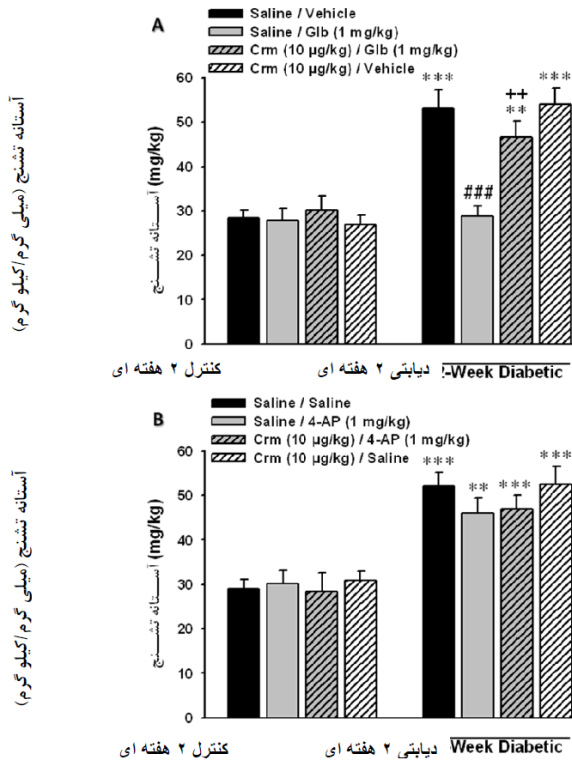
۵. در موش‌های شاهد و دیابتیک ۸ هفته، داروی گلی‌بن-کلامید (بلوک کننده کانال پتاسیمی وابسته به ATP)  $1\text{ mg/kg}$  به صورت (i.p.) ۳۰ دقیقه قبل از تزریق PTZ و اندازه‌گیری آستانه تشنج به موش‌ها تزریق شد.

۶. در موش‌های شاهد و دیابتیک ۸ هفته، ۵ دقیقه قبل از تزریق PTZ داروی گلی‌بن کلامید و ۳۵ دقیقه قبل از تزریق داروی کرومکالیم  $10\text{ }\mu\text{g/kg}$  به صورت (i.p.) به موش‌ها تزریق شد.

۷. در موش‌های کنترل و دیابتیک ۸ هفته، داروی ۴-آمینوپیریدین (بلوک کننده کانال پتاسیمی وابسته به ولتاژ،  $1\text{ mg/kg}$ ) به صورت (i.p.) ۳۰ دقیقه قبل از تزریق PTZ و اندازه‌گیری آستانه تشنج به موش‌ها تزریق شد.

این نوع کاتالالا در افزایش آستانه تشنج حیوانات دیابتیک ۲ هفته‌ای است.

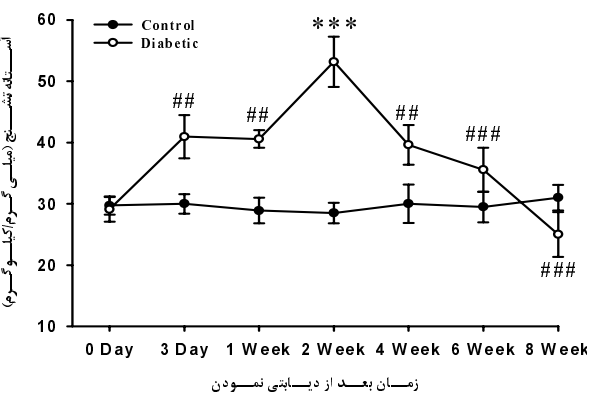
همان‌طور که در شکل ۳A نشان داده شده است، کرومکالیم (Crm) ۱۰  $\mu\text{g}/\text{kg}$  (i.p.) باعث افزایش معنی‌داری در آستانه تشنج موش‌های دیابتیک ۸ هفته‌ای شد ( $p < 0.05$ ). این دوز کرومکالیم هیچ اثر معنی‌داری بر روی آستانه تشنج حیوانات غیردیابتیک ۸ هفته‌ای نداشت. همچنین تزریق گلی‌بن کلامید (i.p., ۱ mg/kg) قبل از کرومکالیم، اثر افزایش‌دهنده کرومکالیم در موش‌های دیابتیک ۸ هفته‌ای جلوگیری نمود ( $p < 0.05$ ). این دوز گلی‌بن کلامید به تنها یا همراه با کرومکالیم (۱۰  $\mu\text{g}/\text{kg}$ ) (i.p.) هیچ اثر معنی‌داری بر روی آستانه تشنج حیوانات شاهد ۸ هفته‌ای نداشت (شکل ۳A).



نمودار ۲- (A) اثر گلی‌بن کلامید (1 mg/kg, Glb) یا حلول آن (DMSO) بر آستانه تشنج القاء شده با PTZ در موش‌های کنترل ۲-هفته‌ای (بافر سیترات) و دیابتیک ۲-هفته‌ای (با STZ) (i.p.). به تنها یا در ترکیب با کرومکالیم (Crm) (۱۰  $\mu\text{g}/\text{kg}$ ) یا حلول آن (سالین). (B) اثر ۴-آمینوپیریدین (4-AP) (۱ mg/kg) یا حلول آن (سالین) بر آستانه تشنج القاء شده با PTZ در موش‌های کنترل ۲-هفته‌ای (بافر سیترات) و دیابتیک ۲-هفته‌ای (با STZ) (i.p.). به تنها یا در ترکیب با کرومکالیم (Crm) (۱۰  $\mu\text{g}/\text{kg}$ ) یا حلول آن (سالین).

داده‌های به صورت میانگین ± خطای معیار بیان شده‌اند. \* $p < 0.05$  و \*\* $p < 0.01$  در مقایسه با گروه شاهد همزمان خود. \*\*\* $p < 0.001$  در مقایسه با گروه دیابتیک ۲-هفته‌ای.  $\#$  در مقایسه با گروه دیابتیک ۲-هفته‌ای.  $\#\#$  در مقایسه با گروه دیابتیک ۲-هفته‌ای.  $\#\#\#$  در مقایسه با گروه دیابتیک ۲-هفته‌ای.

به زمان افزایش یافت، به طوری که موش‌های دیابتیک ۲ هفته نسبت به گروه شاهد همزمان خود بطور معنی‌داری دارای آستانه تشنج بالاتری بودند ( $p < 0.001$ ), ولی از هفته دوم تا هشتم بعد از القاء دیابت، آستانه تشنج بطور معنی‌داری پایین آمده و در هفته هشتم پس از دیابت به گروه شاهد همزمان خود رسید. در این زمان، آستانه تشنج کمی از گروه شاهد همزمان خود پایین‌تر بود ولیکن این تفاوت معنی‌دار نبود (NS).



نمودار ۱- تغییرات وابسته به زمان آستانه تشنج القاء شده با PTZ در موش‌های شاهد (بافر سیترات) و دیابتیک (با STZ) در زمانهای صفر، ۳-روزه، یک، ۲، ۴، ۶ و ۸ هفته پس از تزریق بافر یا داده‌ها به صورت میانگین ± خطای معیار بیان شده‌اند. \* $p < 0.05$  و \*\* $p < 0.01$  در مقایسه با گروه شاهد همزمان خود. # $p < 0.05$  و ## $p < 0.01$  در مقایسه با گروه دیابتیک ۲-هفته‌ای.

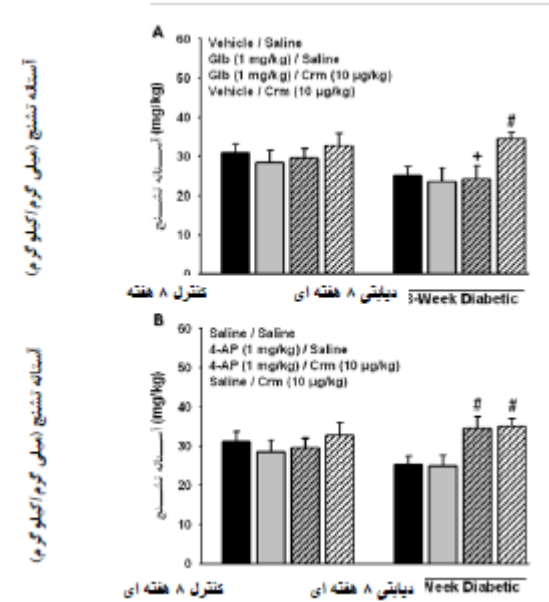
همان‌طور که در شکل ۲A نشان داده شده است، گلی‌بن کلامید (1 mg/kg, i.p.) اثر معنی‌داری بر آستانه تشنج حیوانات شاهد ۲ هفته‌ای نداشت، اما بطور معنی‌داری ( $p < 0.001$ ) آستانه تشنج حیوانات دیابتیک ۲ هفته‌ای را کاهش داد. آستانه تشنج القاء شده با PTZ در این گروه دیابتیک که در آنها گلی‌بن کلامید تزریق شده بود، تفاوت معنی‌داری با حیوانات شاهد غیردیابتیک ۲ هفته‌ای نداشت. همچنین، این اثر کاهش‌دهنده گلی‌بن کلامید در موش‌های دیابتیک ۲ هفته‌ای توسط تزریق همزمان کرومکالیم (10  $\mu\text{g}/\text{kg}$ ) (i.p.) خنثی شد. این دوز کرومکالیم به تنها یا بر آستانه تشنج حیوانات دیابتیک و غیردیابتیک ۲ هفته‌ای هیچ اثری نداشت (شکل ۲A). همان‌طور که در شکل ۲B مشاهده می‌شود، داروی مهارکننده کاتالالا پتابسیمی وابسته به ولتاژ یعنی ۴-آمینوپیریدین (4-AP) (1 mg/kg) (i.p.) اثری بر تغییرات آستانه تشنج موش‌های شاهد و دیابتیک ۲ هفته‌ای، چه به صورت تنها و چه به صورت تزریق همزمان با کرومکالیم (10  $\mu\text{g}/\text{kg}$ ) (i.p.) نداشت که نشان دهنده عدم درگیری

دیابت: آستانه تشنج و کانال‌های پتاسیمی  $K_{ATP}$ 

نشان دادیم که دوز غیر مؤثر داروی گلی‌بن‌کلامید باعث جلوگیری از افزایش معنی‌دار آستانه تشنج در موش‌های دیابتیک ۲ هفته‌ای شد که این اثر با کرومکالیم خنثی گردید. از سوی دیگر کرومکالیم باعث افزایش معنی‌دار آستانه تشنج در موش‌های دیابتیک ۸ هفته‌ای گردید که این اثر به وسیله گلی‌بن‌کلامید خنثی گردید. این یافته‌ها برای اولین بار حاکی از دخالت کانال‌های پتاسیمی وابسته به ATP در تغییرات وابسته به زمان آستانه تشنج در دیابت می‌باشد.

بسیاری از مطالعات نشان داده‌اند که کانال‌های  $K_{ATP}$  نقش مهمی را در تنظیم آستانه تشنج ایفا می‌کنند. دوره هیپرگلیسمی آزمایشگاهی به نظر می‌رسد که یک عامل تعیین کننده مهم در اثرات مشاهده شده دیابت بر عملکرد کانال پتاسیمی  $K_{ATP}$  باشد؛ چراکه گزارشاتی حاکی از آن است پاسخ‌های شل‌شدگی به فعالیت کانال پتاسیمی  $K_{ATP}$  در مراحل اولیه دیابت افزایش می‌یابد. برای مثال، دیلاتاسیون وابسته به یک بازنگنده کانال پتاسیمی صناعی به نام Cromakalim در شرائین بزرگ کرونری سگ یک هفته بعد از درمان با آلوکسان افزایش یافت و پاسخ‌ها در شرائین کوچک کرونری بدون تغییر باقی ماند (۱۳). هم‌چنین، تنها ۲ هفته بعد از تزریق استریتوزووسین، فعالیت کانال‌های پتاسیمی  $K_{ATP}$  باعث پاسخ‌های شل‌شدگی افزایش یافته در آرتربیول‌های آوران کلیوی در موش‌های صحرایی شد (۱۴). به علاوه، چون گلی‌بن‌کلامید (مسوده‌کننده کانال پتاسیمی) ممکن است باعث انقباض و تنگ‌شدگی قابل ملاحظه عروق شود، ممکن است که بیان و فعالیت پایه کانال‌های پتاسیمی  $K_{ATP}$  در جریان خون کلیوی در مراحل اولیه دیابت افزایش یابد (۱۴). این حالت ممکن است در افزایش فیلتراسیون گلومرولی و جریان خون کلیوی که در مراحل اولیه دیابت چه به طور بالینی و چه به طور آزمایشگاهی رخ می‌دهد، دخیل باشد (۱۵). بنابراین، افزایش کانال‌های پتاسیمی  $K_{ATP}$  در این زمان ممکن است منعکس‌کننده یک وضعیت متابولیکی خیلی شدید (کاهش سطوح ATP) در سلول‌های عضله صاف عروقی، که نسبتاً سریع بعد از شروع هیپرگلیسمی رخ می‌دهد، باشد. فعالیت افزایش یافته  $K_{ATP}$  در عروق خونی در طی استرس متابولیک مانند ایسکمی ممکن است جهت حفظ پرفیوژن بافتی خیلی مفید باشد. بنابراین، بافت‌ها می‌توانند به آسیب‌های ایسکمیک که بعد از گذشتן یک مدت طولانی از دیابت که منجر به اختلال در عملکرد کانال‌های پتاسیمی می‌شود، مستعدتر شوند (۱۶).

همان‌طور که در شکل ۳B نشان داده شده است، داروی آمینوپیریدین با دوز ۱ mg/kg ( بصورت داخل صفاقی) اثری بر تغییرات آستانه تشنج موش‌های شاهد و دیابتیک ۸-هفته‌ای، چه به صورت تنها و چه به صورت تزریق همزمان با کرومکالیم (10  $\mu$ g/kg) (i.p)، نداشت که نشان‌دهنده عدم درگیری این کانال‌ها در تغییرات آستانه تشنج حیوانات دیابتیک ۸ هفته‌ای است.



نمودار ۳ - (A) اثر کرومکالیم (10  $\mu$ g/kg, Crm) یا حلal آن (سالین) بر آستانه تشنج القاء شده با PTZ در موش‌های شاهد ۸-هفته‌ای (بافر سیترات) و دیابتیک ۸-هفته‌ای (با STZ)، به تنها یک یا در ترکیب با گلی‌بن‌کلامید (1 mg/kg, Glb, Crm) (B) اثر کرومکالیم (10  $\mu$ g/kg, Crm) یا حلal آن (DMSO) (سالین) بر آستانه تشنج القاء شده با PTZ در موش‌های شاهد ۸-هفته‌ای (بافر سیترات) و دیابتیک ۸-هفته‌ای (با STZ)، به تنها یک یا در ترکیب با ۴-آمینوپیریدین (4-AP) (1 mg/kg, 4-AP, DMSO) یا حلal آن (سالین).

داده‌ها به صورت میانگین  $\pm$  خطای معیار بیان شده‌اند.  $^{*}p < 0.05$  در مقایسه با گروه دیابتیک ۸-هفته‌ای حلal (DMSO) / سالین و  $^{+}p < 0.05$  در مقایسه با گروه دیابتیک ۸-هفته‌ای حلal (Crm) / (DMSO) (Crm) (DMSO) (سالین).

## بحث

در این مطالعه ما برای اولین بار نشان دادیم که آستانه تشنج القا شده با داروی PTZ بطور وابسته به زمان تغییر می‌یابد، به طوری که در هفته دوم دیابت به حداقل خود رسیده و بعد از آن بطور معنی‌داری تا هفته هشتم کاهش می‌یابد. آستانه تشنج حیوانات دیابتیک ۸ هفته‌ای کمتر از حیوانات کنترل ۸ هفته‌ای بود، هرچند این تفاوت معنی‌دار نبود. هم‌چنین ما

بود که عملکرد کانال  $K_{ATP}$  در آنها بوسیله دادن یک داروی NO donor حفظ شد (۱۸). در مطالعه حاضر نیز مانشان دادیم که در موش‌های دیابتیک ۸ هفته، دوز غیرمؤثر داروی کرومکالیم باعث افزایش معنی دار آستانه تشنج القاء شده با PTZ شد. این در حالی بود که همین دوز در گروههای شاهد ۸ هفته اثری بر آستانه تشنج نداشت. این یافته با مطالعات قبلی که نشان دهنده اثرات سوء دیابت بر عملکرد کانال‌های پتانسیمی  $K_{ATP}$  است، مطابقت دارد.

از این مطالعه نتیجه‌گیری می‌شود که در دیابت بطور وابسته به زمان، آستانه تشنج تغییر می‌کند، به‌گونه‌ای که در اوایل دیابت افزایش و متعاقب آن کاهش می‌یابد. این تغییرات ممکن است در اثر تغییرات فعالیت کانال‌های پتانسیمی  $K_{ATP}$  در طول دیابت باشد.

از سوی دیگر، اثرات گیج‌کننده عملکرد کانال پتانسیمی که در حدود هفتة ۴ تا ۸ بعد از القاء هیپرگلیسمی رخ می‌دهد، شاید به خاطر بدتر شدن و آسیب تدریجی مکانیسم‌های عروقی در طول پیشرفت بیماری باشد. برای مثال، در یک بررسی نشان داده شد که پاسخ‌های شل‌شده‌گی به کرومکالیم در عروق مقاوم کرونری، اما نه در بستر عروق مزانتریک یا آئورتی، بعد از ۲ ماه از هیپرگلیسمی کاهش می‌یابد (۱۷). همچنین، هیپرپلاریزاسیون القاء شده با pinacidil (یک باز کننده کانال  $K_{ATP}$  صناعی) در شریان مزانتریک بعد از ۸ تا ۱۲ هفته از دیابت حفظ شده بود و تغییر نکرده بود (۱۷). Zimmerman و همکارانش نیز نشان دادند که پاسخ‌های شل‌شده‌گی باز کننده‌های کانال پتانسیمی  $K_{ATP}$  در شرائین مغزی موش‌های دیابتیک، ۴ تا ۸ هفته بعد از ایجاد دیابت، کاهش یافت که در نتیجه کاهش آزادسازی NO مشتق شده از اندوتیلیوم

## REFERENCES

1. Tsui H, Winer S, Jakowski G, Dosch H-M. Neuronal elements in the pathogenesis of type 1 diabetes. *Rev Endocr Metabol Disord* 2003; 4: 301-10.
2. Kolta M, Minker E. Changes of electro-shock seizure threshold in alloxan diabetic rats. *Experientia* 1975; 31: 1369.
3. Schwechter EM, Velísková J, Velísek L. Correlation between extracellular glucose and seizure susceptibility in adult rats. *Ann Neurol* 2003; 53: 91-101.
4. Narita M, Suzuki T, Misawa M, Nagase H, Nabeshima A, Ashizawa T, et al. Role of central ATP-sensitive potassium channels in the analgesic effect and spinal noradrenaline turnover-enhancing effect of intracerebroventricularly injected morphine in mice. *Brain Res* 1992; 596: 209-14.
5. Yamada K, Inagaki N. Neuroprotection by KATP channels. *J Mol Cell Cardiol* 2005; 38: 945-49.
6. Katsumori H, Ito Y, Higashida H, Hashii M, Minabe Y. Anti- and proconvulsive actions of levcromakalim, an opener of ATP-sensitive  $K^+$  channel, in the model of hippocampus-generating partial seizures in rats. *Eur J Pharmacol* 1996; 311: 37-44.
7. Amoroso S, Schmid-Antomarchi H, Fosset M, Lazdunski M. Glucose, sulfonylureas, and neurotransmitter release: role of ATP-sensitive  $K^+$  channels. *Science* 1990; 247: 852-54.
8. Stanford IM, Lacey MG. Electrophysiological investigation of adenosine triphosphate-sensitive potassium channels in the rat substantia nigra pars reticulata. *Neuroscience* 1996; 74: 499-509.
9. Yamada K, Ji JJ, Yuan H, Miki T, Sato S, Horimoto N, et al. Protective role of ATP-sensitive potassium channels in hypoxia-induced generalized seizure. *Science* 2001; 292: 1543-46.
10. Kamata K, Miyata N, Kasuya Y. Functional changes in potassium channels in aortas from rats with streptozotocin-induced diabetes. *Eur J Pharmacol* 1989; 166: 319-23.
11. Cameron NE, Cotter MA. Impaired contraction and relaxation in aorta from streptozotocin-diabetic rats: role of polyol pathway. *Diabetologia* 1992; 35: 1011-1019.
12. Glocker S, Quast U. Binding and effects of P1075, an opener of ATP-sensitive  $K^+$  channels, in the aorta from streptozotocin-treated diabetic rats. *Naunyn-Schmiedebergs Arch Pharmacol* 1997; 356: 210-15.
13. Kersten JR, Brooks LA, Dellsperger KC. Impaired microvascular response to graded coronary occlusion in diabetic and hyperglycemic dogs. *Am J Physiol* 1995; 268: H1667-74.
14. Ikenaga H, Bast JP, Fallet RW, Carmines PK. Exaggerated impact of ATP-sensitive  $K^+$  channels on afferent arteriolar diameter in diabetes mellitus. *J Am Soc Nephrol* 2000; 11: 1199-207.
15. Troy JL, Brenner BM. Glomerular hemodynamics in experimental diabetes mellitus. *Kidney Int* 1981; 19: 410-15.
16. Sobey CG. Potassium channel function in vascular disease. *Arterioscler Thromb Vasc Biol* 2001; 21: 28-38.

17. Fukao M, Hattori Y, Kanno M, Sakuma I, Kitabake A. Alterations in endothelium-dependent hyperpolarization and relaxation in mesenteric arteries from streptozotocin-induced diabetic rats. *Br J Pharmacol* 1997; 121: 1383-91.
18. Zimmerman PA, Knot HJ, Stevenson AS, Nelson MT. Increased myogenic tone and diminished responsiveness to ATP-sensitive  $K^+$  channel openers in cerebral arteries from diabetic rats. *Circ Res* 1997; 81: 996-1004.

Archive of SID